

ISSN 0013-5380



# ЭЛЕКТРИЧЕСТВО

1990

•ЭНЕРГОАТОМИЗДАТ•

12

ИЗДАЕТСЯ  
С ИЮЛЯ  
1880 года

# ЭЛЕКТРИЧЕСТВО

12  
ДЕКАБРЬ  
1990

ЕЖЕМЕСЯЧНЫЙ ТЕОРЕТИЧЕСКИЙ И НАУЧНО-ПРАКТИЧЕСКИЙ ЖУРНАЛ

ОРГАН АКАДЕМИИ НАУК СССР, ГОСУДАРСТВЕННОГО КОМИТЕТА СССР  
ПО НАУКЕ И ТЕХНИКЕ, ЦП ВСЕСОЮЗНОГО НАУЧНО-ТЕХНИЧЕСКОГО ОБЩЕСТВА ЭНЕРГЕТИКОВ  
И ЭЛЕКТРОТЕХНИКОВ ИМЕНИ АКАДЕМИКА Г. М. КРЖИЖАНОВСКОГО

МОСКВА

ЭНЕРГОАТОМИЗДАТ

## Юбилей МЭИ

В декабре 1990 г. исполняется 60 лет Московскому орденов Ленина и Октябрьской Революции энергетическому институту, широко известному в нашей стране и за рубежом.

МЭИ был создан в конце 1930 г. в результате слияния Московского высшего энергетического училища, образованного в марте 1930 г. из электротехнического факультета Московского высшего технического училища (МВТУ), и Московского энергетического института, также незадолго до этого сформированного из электропромышленного факультета Института народного хозяйства им. Г. В. Плеханова.

В предвоенные годы проходило становление и интенсивное развитие МЭИ. В 1940 г. в его составе было пять факультетов: электроэнергетический, теплотехнический, электромеханический, электрофизический и радиотехнический. В 1930—1940 гг. было подготовлено более 8 тыс. специалистов, многие из которых стали руководителями крупных строек, электростанций и электропромышленных предприятий страны, известными преподавателями как в самом МЭИ, так и в других вузах, крупными учеными.

За большие успехи в подготовке инженерных и научных кадров МЭИ в декабре 1940 г. был награжден орденом Ленина.

Особенно интенсивное развитие получил МЭИ в послевоенные годы. В настоящее время это крупнейший политехнический вуз страны, по праву считающийся главной кузницей кадров по многим электротехническим, теплотехническим, электромеханическим и другим смежным специальностям. В его составе сейчас 10 факультетов (теплоэнергетический — ТЭФ, промышленной теплоэнергетики — ПТЭФ, энергомашиностроительный — ЭНМФ, энергофизический — ЭФФ, электроэнергетический — ЭЭФ, электромеханический — ЭМФ, электрификации и автоматизации промышленности и транспорта — ЭАПТФ, автоматики и вычислительной техники — АВТФ, электронной техники — ЭТФ, радиотехнический — РТФ), на которых, включая и два филиала в Смоленске и Казани, работают более 2000 профессоров и преподавателей и единовременно обучается более 22 тыс. студентов.

Тремя основными электротехническими факультетами МЭИ являются ЭЭФ, ЭМФ и ЭАПТФ. Прямое отношение к электротехнике имеют кафедры теоретических основ электротехники (ТОЭ) и инженерной электрофизики, относящиеся к АВТФ, общей электротехнике и интроскопии (ЭФФ), промышленной электроники (ЭТФ) и др.

Не останавливаясь на развитии отдельных кафедр и специальностей, охарактеризуем основные направления, имеющие прямое отношение к профилю нашего журнала.

В основе электротехнического образования лежит, как известно, курс ТОЭ, который начался с лекций проф. К. А. Круга в МВТУ в 1905 г. и с его широко известных первых учебников по ТОЭ. На кафедре ТОЭ в МЭИ работали многие известные ученые, внесшие значительный вклад в развитие этой важнейшей электротехнической дисциплины, среди них профессора К. М. Поливанов, В. Ю. Ломоносов, М. А. Перекалин, И. Л. Каганов (организовавший в 1943 г. кафедру промышленной электроники), П. А. Ионкин, С. В. Страхов.

Электроэнергетический факультет является одним из старейших в МЭИ. Трудами многих преподавателей и ученых на кафедрах ЭЭФ заложены основы и развиты теория электроэнергетических систем и теория автоматизированного управления такими системами, как автоматика и релейная защита энергосистем, методы расчетов уста-

ся и переходных процессов и устойчивости систем, техника высоких напряжений, оптимизация электрических станций, систем, оптимизация режимов работы гидростанций в энергосистемах. Значительное развитие этих направлений внесли в разное время в МЭИ выдающиеся

А. Ульянов, Н. И. Сушкин, Б. А. Теленков, Лебедев, А. А. Глазунов, Н. А. Мельник, С. Жданов, Л. И. Сиротинский, И. И. Соловьев, Д. В. Разевиг, П. Г. Грушев, В. А. Веников, А. М. Федосеев. Дальнейшее развитие ЭЭФ ведется с учетом необходимости владения современным инженерно-технической и методами научных исследований и создания. На кафедрах и в лабораториях ведутся актуальные и перспективные исследования по повышению устойчивости энергосистем, созданию новых типов устройств комреактивной мощности, автономных и ненавязчивых источников электроэнергии, устойчивости и защиты энергосистем на базе новых средств электроники, использующих электрические поля, молниезащиты, работы электростанций с точностью экологии.

Реактивные машины и аппараты являются специальностями электромеханического профиля не только в МЭИ, но и во всей области использования электрической энергии, сосредоточено на крупных проблемах энергосбережения, использования микропроцессорной техники для резкого расширения функциональных возможностей оборудования, создания компьютеризированных систем проектирования и исследования.

Принципиальной особенностью МЭИ, обеспечившей ему высокий авторитет в научно-технических кругах, можно считать органическое сочетание исследовательской деятельности на высоком уровне с подготовкой студентов, которые всегда являлись и являются непосредственными и активными участниками всех исследований и разработок.

Публикуемые в этом номере журнала статьи учеников МЭИ, естественно, лишь в малой степени отражают ту большую научную работу, которая ведется на кафедрах и в лабораториях института.

Поздравляя славный коллектив МЭИ с 60-летием, редакция журнала «Электричество», в которой, кстати, профессора МЭИ составляют значительную часть, от имени своих авторов и читателей желает институту новых больших успехов в деле подготовки квалифицированных специалистов, развития научных исследований и широкого внедрения в практику их результатов, развития и расширения лабораторной базы, улучшения условий труда и отдыха преподавателей, сотрудников и студентов. Редакция также подтверждает готовность дальнейшего широкого сотрудничества с высококвалифицированным авторским коллективом Московского энергетического института.

портных применений и в тепловую в различных электротермических и электротехнологических установках, было организационно оформлено в 1945 г., когда образовался факультет электрификации и автоматизации промышленности и транспорта. За годы существования этого факультета создана теория систем, осуществляющих такие преобразования электрической энергии, разработаны многочисленные оригинальные технические решения, нашедшие широкое применение во всех сферах народного хозяйства страны. Большой вклад в развитие указанного научного направления внесли кафедры автоматизированного электропривода, электрического транспорта, электрооборудования промышленных предприятий, электротермических установок, на которых в разное время работали выдающиеся ученые профессора А. Т. Голован, Д. П. Морозов, М. Г. Чиликин, В. Е. Розенфельд, Д. К. Минов, А. Д. Степанов, И. С. Ефремов, А. Д. Свенчанский, М. Я. Смелянский, М. М. Соколов, А. С. Сиротин, А. С. Сандлер, Е. В. Чеботарев, А. А. Федоров.

В последние годы внимание ученых, работающих в области использования электрической энергии, сосредоточено на крупных проблемах энергосбережения, использования микропроцессорной техники для резкого расширения функциональных возможностей оборудования, создания компьютеризированных систем проектирования и исследования.

Принципиальной особенностью МЭИ, обеспечившей ему высокий авторитет в научно-технических кругах, можно считать органическое сочетание исследовательской деятельности на высоком уровне с подготовкой студентов, которые всегда являлись и являются непосредственными и активными участниками всех исследований и разработок.

Публикуемые в этом номере журнала статьи учеников МЭИ, естественно, лишь в малой степени отражают ту большую научную работу, которая ведется на кафедрах и в лабораториях института.

Поздравляя славный коллектив МЭИ с 60-летием, редакция журнала «Электричество», в которой, кстати, профессора МЭИ составляют значительную часть, от имени своих авторов и читателей желает институту новых больших успехов в деле подготовки квалифицированных специалистов, развития научных исследований и широкого внедрения в практику их результатов, развития и расширения лабораторной базы, улучшения условий труда и отдыха преподавателей, сотрудников и студентов. Редакция также подтверждает готовность дальнейшего широкого сотрудничества с высококвалифицированным авторским коллективом Московского энергетического института.

## Управление режимами электроэнергетических систем с помощью дискретных источников реактивной мощности

СТРОЕВ В. А., ЧЕХОВ В. И., АСЛАНЯН С. К.

Московский энергетический институт

В настоящее время для управления установленными режимами системообразующих сетей электроэнергетических систем (ЭЭС) в подавляющем большинстве случаев используется плавный способ изменения баланса реактивной мощности, основывающийся на управлении возбуждением синхронных машин — генераторов и компенсаторов. В последнее десятилетие наметилась тенденция замены в ряде случаев синхронных компенсаторов в ЭЭС на статические управляемые источники реактивной мощности, устанавливаемые на промежуточных подстанциях протяженных линий электропередач [1]. Как правило, это установки поперечного включения, в которых плавное изменение реактивной мощности компенсатора достигается путем изменения тока шунтирующего реатора (ШР). Батареи конденсаторов (БК) в этих случаях управляются только дискретно. При использовании тиристорных блоков в управляемом статическом компенсаторе, наряду с преимуществами такого устройства (возможность пофазного управления режимом электропередачи, высокое быстродействие в переходных режимах) проявляется и существенный его недостаток — высокий уровень гармонических составляющих в токе компенсатора с плавным способом регулирования. Последнее требует применения специальных мероприятий по фильтрации высших гармоник, что связано с усложнением схемы компенсатора и повышением его стоимости.

Альтернативным способом плавному управлению режимами ЭЭС является ступенчатый (плавно-ступенчатый) способ, когда при помощи тиристорных блоков осуществляется ступенчатое подключение секций шунтирующих реаторов или батарей конденсаторов. При плавно-ступенчатом способе в диапазоне единичной ступени регулирования предусматривается плавное изменение мощности равной ей по величине секции шунтирующего реатора. Использование дискретного способа управления режимами ЭЭС позволяет практически исключить высшие гармоники в токе компенсатора, повысить надежность всей установки в целом за счет секционирования ее установленной мощности, а также снизить вероятность появления неканонических гармоник тока из-за рассогласования углов управления по fazам компенсатора, что наблюдается в процессе эксплуатации устройств с плавным способом управления.

Наряду с указанными достоинствами дискретного способа управления следует отметить его характерные особенности, требующие решения ря-

да проблем: наличие зоны нечувствительности, внутри которой изменение параметра регулирования режима ЭЭС не приводит к изменению числа включенных секций компенсатора, и, как следствие, принципиальная невозможность работы управляемой подсистемы в зоне искусственной устойчивости ЭЭС (при углах передачи по участкам линии, близких к  $90^\circ$ ), а также возникновение переходных режимов при переключениях секций дискретного компенсатора.

Выбор способа регулирования мощности статических компенсаторов при управлении режимами ЭЭС должен быть основан на анализе характеристических режимов системы с учетом указанных выше особенностей отдельных способов и учете приведенных народно-хозяйственных затрат.

Остановимся сначала на основных параметрах дискретного компенсатора, внешняя характеристика которого представлена на рис. 1 [2]. К ним относятся:

1) установленные мощности реакторной и конденсаторной частей, причем возможны три случая схемного решения:

а) нерегулируемый ШР и регулируемая тиристорными ключами БК. В этом случае для обеспечения заданного диапазона регулирования реактивной мощности необходимо

$$Q_{БК}^{уст} = Q_{БК} + Q_{ШР},$$

т. е. установленная мощность БК завышена по отношению к расчетной величине из условия обеспечения режимов ЭЭС;

б) нерегулируемая БК и ступенчато регулируемая тиристорными ключами секции ШР. В этом случае

$$Q_{ШР}^{уст} = Q_{ШР} + Q_{БК},$$

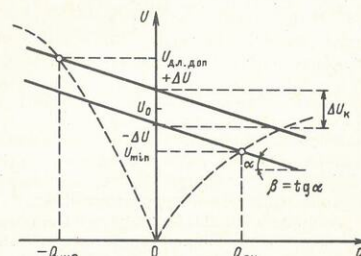


Рис. 1. Внешняя характеристика дискретного компенсатора реактивной мощности

# Методика расчета электродинамической стойкости жесткой ошиновки при неуспешных АПВ

ДОЛИН А. П., канд. техн. наук, КОЗИНОВА М. А., инж.

Московский энергетический институт

спределительных устройствах напряжения и выше широко используются экономически прогрессивные конструкции с жесткими. Методика расчета этих конструкций электродинамическая стойкость рассматривается, например, в [1, 2]. Принималось, что изоляторы и шины находятся в покое, и колебаний шинных конструкций проходит нулевых начальных условиях. Рассмотрение не учитывалось. Однако при АПВ (при повторных включениях нулевых начальных условий для жесткой шины напряжение 110 кВ и выше, как правило, выполняются). Кроме того, максимальные изоляторы и напряжения в материалах существенно зависят от диссипатив-

где  $y$  — прогиб шины, м;  $E$  — модуль упругости материала шины, Па;  $I$  — ее момент инерции,  $\text{м}^4$ ;  $t$  — время от начала этапа, с;  $m$  — масса шины на единицу длины, кг/м;  $q$  — электродинамическая нагрузка (ЭДН), Н/м;  $\mu = \delta/(\pi\Omega)$  — параметр затухания, с;  $\delta$  — логарифмический декремент затухания;  $\Omega$  — угловая частота собственных колебаний, рад/с.

Первый член в уравнении (1) учитывает упругую реакцию шины, второй — диссипативные, а третий — инерционные силы. Нагрузка в правой части уравнения (1) в бестоковые паузы равна нулю, а при к. з. определяется по формуле [2]

$$q(x, t) = \frac{\alpha}{a} I_m^2 \sum_{n=1}^6 D_n(x, \Psi) \Theta_n(t), \quad (2)$$

где  $\alpha = 2 \cdot 10^{-7}$ , Н/А<sup>2</sup>;  $a$  — наименьшее расстояние между фазами, м;  $I_m$  — амплитуда периодической составляющей тока к. з.;  $D_n$  — коэффициенты, зависящие от вида к. з., взятое расположения шин, координаты  $x$ , угла включения тока к. з.  $\Psi$ ;  $\Theta_n(t)$  — функции времени, равные

$$\Theta_1 = 1; \quad \Theta_2 = e^{-2t/T_s}; \quad \Theta_3 = e^{-t/T_s} \cos \omega t;$$

$$\Theta_4 = e^{-t/T_s} \sin \omega t; \quad \Theta_5 = \cos 2\omega t; \quad \Theta_6 = \sin 2\omega t;$$

$T_s$  — постоянная времени затухания апериодической составляющей тока к. з.;  $\omega$  — угловая частота тока в сети, рад/с.

В средних пролетах протяженных конструкций с параллельными шинами коэффициента  $D_n$  ( $n=1, 2, \dots, 6$ ) не зависит от  $x$ , и ЭДН равномерно распределена по длине шины [1].

Решение уравнения (1) значительно упрощается, если опоры шин принять абсолютно жесткими. Такое допущение справедливо для большинства изоляторов напряжением до 110 кВ, трехгранных шинных опор (напряжением 500 кВ и выше), а в ряде случаев — для опор 150—330 кВ [4].

Решение уравнения (1) можно найти в виде суммы частного решения  $y_1$  этого уравнения и общего решения  $y_2$  однородного уравнения. Составляющая  $y_1$  определяет вынужденные, а  $y_2$  — свободные колебания шины, которые зависят от начальных прогибов и скоростей балки — шины в начальный момент времени. Свободные колебания вследствие трения со временем затухают.

Решения  $y_1$  и  $y_2$  удобно искать в виде рядов разложения по собственным (фундаментальным) функциям [3]. Частное решение уравнения (1) имеет вид

$$EI \frac{\partial^4 y}{\partial x^4} + \mu EJ \frac{\partial^5 y}{\partial t \partial x^3} + m \frac{\partial^2 y}{\partial t^2} = q(x, t), \quad (1)$$

$$y_1(x, t) = \sum_{k=1}^{\infty} S_k(t) X_k(x). \quad (3)$$

Здесь  $X_k$  — фундаментальные функции, зависящие от способа закрепления концов балки — шины (граничных условий). Например, при шарнирном опирании шин на изоляторы (опоры) пролета, характерном для ошиновки РУ 110 кВ и выше,

$$X_k = \sqrt{2} \sin r_k \frac{x}{l}, \quad (4)$$

где  $r_k$  — параметры частоты собственных колебаний шины (корни характеристического уравнения), равные  $k\pi$ ;  $l$  — длина пролета шины, м.

Функции времени  $S_k(t)$  для равномерно распределенной по длине шины нагрузки определяются по формуле

$$S_k(t) = \frac{Z_k}{mp_k} \int_0^l e^{-h_k(t-\tau)} q(\tau) \sin p_k(t-\tau) d\tau, \quad (5)$$

где

$$Z_k = \frac{\int_0^l X_k(x) dx}{\int_0^l X_k^2(x) dx}; \quad (6)$$

$h_k = \mu \Omega_k / 2 = \delta \Omega_k / (2\pi)$  — коэффициенты затухания, с<sup>-1</sup>;  $p_k = \sqrt{\Omega_k^2 - h_k^2}$  — угловые частоты собственных колебаний с учетом затухания, рад/с.

Частоты собственных колебаний шины (без учета затухания) определяются по формуле

$$\Omega_k = 2\pi f_k = \frac{r_k^2}{l^2} \sqrt{\frac{EJ}{m}}, \quad (7)$$

где  $f_k$  — собственные частоты колебаний шин, Гц.

Общее решение однородного уравнения

$$y_2(x, t) = \sum_{k=1}^{\infty} T_k(t) X_k(x). \quad (8)$$

Функции времени  $T_k(t)$  равны

$$T_k(t) = e^{-h_k t} \frac{p_k}{\Omega_k} (A_k \sin p_k t + B_k \cos p_k t). \quad (9)$$

Коэффициенты  $A_k$  и  $B_k$  определяются для каждого этапа из начальных условий

$$y|_{t=0} = y_0(x); \quad \frac{dy}{dt}|_{t=0} = v_0(x).$$

После преобразований, с учетом ортогональности фундаментальных функций искомые коэффициенты приводятся к виду

$$A_k = \frac{\int_0^l v_0(x) X_k(x) dx + h_k \int_0^l y_0(x) X_k(x) dx}{\int_0^l X_k^2(x) dx}; \quad (10a)$$

$$B_k = \frac{\Omega_k \int_0^l y_0(x) X_k(x) dx}{p_k \int_0^l X_k^2(x) dx}. \quad (10b)$$

Для нормированных фундаментальных функций интеграл, стоящий в знаменателе уравнений (6) и (10), равен 1.

С учетом (3) и (8) уравнения (10 а, б) приводятся к виду

$$A_{ki} = \frac{1}{p_k} [(\hat{T}_{k(i-1)} + \hat{S}_{k(i-1)}) + h_k(T_{k(i-1)} + S_{k(i-1)})]; \quad (11a)$$

$$B_{ki} = \frac{\Omega_k}{p_k} (T_{k(i-1)} + S_{k(i-1)}), \quad (11b)$$

где  $i$  — номер цикла АПВ ( $i=1$  при КЗ1,  $i=2$  при БП1,  $i=3$  при КЗ2,  $i=4$  при БП2);  $T_{k(i-1)}$ ,  $S_{k(i-1)}$ ,  $\hat{T}_{k(i-1)}$ ,  $\hat{S}_{k(i-1)}$  — функции времени и их производные, вычисленные при наибольшем значении времени предшествующего этапа (т. е. в момент коммутации). На первом этапе (КЗ1) коэффициенты  $A_k$  и  $B_k$  равны нулю.

При расчете колебаний шин, имеющих одинаковые условия опирания на обоих изоляторах пролета, и действия симметричной относительно середины пролета нагрузки (в частном случае равномерно распределенной по длине шины ЭДН) в уравнениях (3) и (8) имеются только нечетные члены ряда ( $k=1, 3, 5, \dots$ ), так как четные формы собственных колебаний не возбуждаются.

Нагрузки на изоляторы (в Н) и напряжения в материале шины (в Па) определяются по формулам

$$R(t) = 2EJ \frac{\partial^3 y}{\partial x^3} \Big|_{x=0, l}; \quad (12a)$$

$$\sigma(x, t) = \frac{M(x, t)}{W} = \frac{EJ}{W} \frac{\partial^2 y}{\partial x^2}, \quad (12b)$$

где  $M(x, t)$  — изгибающий момент, Н·м;  $W$  — момент сопротивления поперечного сечения, м<sup>3</sup>.

С учетом (2) прогибы, напряжения и нагрузки могут быть приведены к виду

$$y(x, t) = \frac{\alpha}{c_w} I_m^2 y_*(x, t) = \frac{q_{\max} l}{c_w} \bar{y}_*(x, t); \quad (13a)$$

$$\sigma(x, t) = \frac{\alpha l^2}{\lambda c_w} I_m^2 \sigma_*(x, t) = \frac{q_{\max} l^2}{\lambda W} \bar{\sigma}_*(x, t); \quad (13b)$$

$$R(t) = \beta \frac{\alpha l}{a} I_m^2 R_*(t) = \beta q_{\max} l \bar{R}_*(t), \quad (13b)$$

где  $y_*$ ,  $\sigma_*$ ,  $R_*$ ,  $\bar{y}_*$ ,  $\bar{\sigma}_*$ ,  $\bar{R}_*$  — относительные и относительные приведенные прогибы, напряжения и нагрузки на изоляторы;  $c_w$  — жесткость шины, Н/м;  $\lambda$  и  $\beta$  — параметры, зависящие от условий опирания шин на изоляторы пролета (например, при шарнирном опирании  $c_w = 384EJ/(5l^3)$ ,  $\lambda = 8$ ,  $\beta = 1$  [4]);  $q_{\max}$  — максимальное значение ЭДН в

системе параллельных шин, расположенных в одной плоскости, примерно равное (при трехфазном к. з.)

$$q_{\max} \approx \frac{\alpha}{a} I_m^2 \frac{\sqrt{3}}{2} k_{ya}^2 = \frac{\sqrt{3} \cdot 10^{-7}}{a} i_{ya}^2; \quad (14)$$

$i_{ya} = k_{ya} I_m$  — ударный ток к. з., А<sup>2</sup>;  
 $k_{ya} = 1 + \exp(-0.01/T_a)$  — ударный коэффициент.

Для определения прогибов, напряжений в шине и нагрузок на изоляторы был разработан алгоритм и составлена программа расчета, реализованная на ЭВМ ЕС-1048 и ИВМ РС.

В качестве примера на рис. 1, а и б приведены расчетные зависимости наибольших относительных напряжений (в сечении  $x=0,5 l$ ) и нагрузок на изоляторы от времени при трехфазном первом и повторном к. з. для шин с частотой собственных колебаний  $f_1 = 3$  Гц и декрементом затухания  $\delta = 0,1$ , при  $T_a = 0,05$  с. Кривые построены для крайних шин (фаза А), так как при частоте собственных колебаний  $f_1$  меньше 50 Гц эти шины находятся в более тяжелых условиях, чем средняя фаза В [1, 5]. При вычислениях удерживалось пять членов рядов (3) и (8) по нечетным собственным функциям.

Расчеты проводились при углах включения  $\Psi$  тока первого и второго к. з., равных  $5\pi/12 + k\pi$  (рад), при которых электродинамические нагрузки на фазу А достигают максимума. Длительность первого к. з. (рис. 1, а, б, в)  $t_{K31} = t_{\text{отк1}} = 0,136$ ; продолжительность бестоковой паузы  $t_{BPI} = t_{\text{ПВ}} - t_{\text{отк1}}$  равна 0,53 и 0,34 с, продолжительность повторного к. з.  $t_{K32} = t_{\text{отк2}} - t_{\text{ПВ}} = 0,2$  с. Параметры ЭДН при первом и повторном к. з. принимались одинаковыми.

Анализ полученных результатов показал следующее. Если в момент повторного включения направление действия ЭДН совпадает с направлением движения шины, то максимальные напряжения  $\sigma_{1\max}$  и нагрузки  $R_{2\max}$  оказываются больше  $\sigma_{1\max}$  и  $R_{1\max}$  при первом к. з. (рис. 1, а). Если направления ЭДН и движения шины противоположны, то при повторном к. з.  $\sigma_{2\max}$  и  $R_{2\max}$  могут оказаться меньше соответствующих значений при К31 (рис. 1, б).

Отношения наибольших прогибов, напряжений при повторном и первом к. з. (в случае равенства токов) остаются ниже двух. Наибольшие значения ЭДН, а также  $\sigma$  и  $R$  зависят от угла включения тока к. з.  $\Psi$ . При  $\Psi = 11\pi/12 + k\pi$  (рад) напряжения и нагрузки на шине фазы А (с первой частотой собственных колебаний ниже 20 Гц) могут быть в 1,5—2,5 раза меньше, чем при расчетном угле включения. Чем ниже частота  $f_1$  и постоянная времени  $T_a$ , тем меньше влияет угол  $\Psi$  на наибольшие значения  $\sigma$  и  $R$  при первом и втором к. з.

При неуспешных АПВ прогибы, напряжения и нагрузки значительно зависят от фазы колеба-

ния в момент повторного включения (рис. 1, а, б), которая определяется фазой отключения первого к. з., продолжительностью паузы, частотой собственных колебаний ошиновки. В определенных пределах эта фаза носит случайный характер, который определяется последовательностью отключения фаз, а также флуктуациями времени срабатывания выключателя, параметрами ошиновки, влияющими на частоту собственных колебаний (например, изменение массы шины при гололеде, ослабление болтов крепежных соединений и др.). Чем ниже частота собственных колебаний шины, тем меньше влияние вариаций параметров на fazu колебания при повторном включении.

Если отключение первого к. з. происходит при максимальном прогибе шины, то в бестоковую паузу возникают наибольшие амплитуды свободных колебаний. Соответственно при повторном к. з. прогибы, напряжения и нагрузки могут достичь максимальных расчетных значений. При отключении К31 до или после прохождения максимума прогиба, в режиме повторного замыкания наибольшие значения  $y_2$ ,  $\sigma_2$  и  $R_2$  остаются ниже расчетных максимумов.

Значения прогибов, напряжений и нагрузок при повторных включениях на к. з. в значительной мере определяются также продолжительностью бестоковой паузы и рассеянием энергии при колебаниях. Чем больше время  $t_{BPI}$  и декремент  $\delta$ , тем меньше амплитуды  $y_2$ ,  $\sigma_2$  и  $R_2$  при повторных включениях на к. з. Проведенные расчеты подтвердили, что при продолжительности бестоковой паузы

$$t_{BPI} \geqslant \frac{2,3}{f_1 \delta} \quad (15)$$

начальные условия при повторном к. з. без существенной погрешности для инженерных расчетов можно принять нулевыми [4]. В этом случае наибольшие расчетные прогибы, напряжения и нагрузки при первом и втором к. з. оказываются практически одинаковыми (рис. 1, в).

В РУ до 35 кВ максимальная продолжительность бестоковой паузы выключателей составляет 0,3—0,5 с. Тем не менее условие (15) выполняется даже при малых декрементах затухания, равных 0,03—0,07 [6], так как первая частота собственных колебаний шин, как правило, много выше 250 Гц. Поэтому в РУ до 35 кВ проверку изоляторов и шин по условиям электродинамической стойкости при неуспешных АПВ проводить не требуется. В РУ 110 кВ и выше (иногда 35 кВ) при быстродействующих АПВ условие (15) обычно не выполняется.

В [1, 2, 5] было показано, что инженерный расчет электродинамической стойкости шинных конструкций можно проводить на основе решения задачи о колебаниях системы с одной степенью свободы, которые описываются обыкновенным дифференциальным уравнением второго порядка:

$$Q_{np} = qI; c_{np} = c; f_{np} = f_1; h_{np} = f_1 \delta, \quad (18)$$

где  $c$  — жесткость шинной конструкции ( $N/m$ ), равная распределенной статической нагрузке, действующей на шину, при единичном максимальном прогибе ошиновки;  $f_{np}$  — частота собственных колебаний расчетной схемы с одной степенью свободы, Гц;  $f_1$  — первая (основная) частота колебаний шинной конструкции, Гц.

Прогибы расчетной схемы приводятся к виду (13а) [4, 5]:

$$y = \frac{cl}{\lambda W} I_m^2 y_*(t) = \frac{q_{\max} l}{c} \bar{y}_*(t), \quad (19)$$

где  $y$  и  $\bar{y}_*$  — относительный и относительный приведенный прогибы системы.

Наибольшие напряжения в материале шины и нагрузки на изоляторы определяются по формулам [4]

$$\sigma(t) = \frac{cl}{\lambda W} y(t) = \frac{q_{\max} l^2}{\lambda W} \bar{y}_*(t); \quad (20a)$$

$$R(t) = \beta c y(t) = \beta q_{\max} l \bar{y}_*(t). \quad (20b)$$

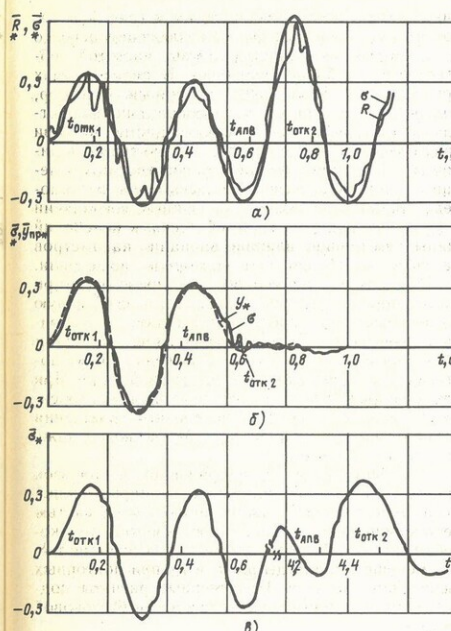


Рис. 1

$$\frac{d^2 y_{np}}{dt^2} + 2h_{np} \frac{dy_{np}}{dt} + \Omega_{np}^2 y_{np} = \frac{Q_{np}}{m_{np}}, \quad (16)$$

где  $h_{np}$  — коэффициент рассеяния энергии системы,  $c$ ;  $Q_{np}$  — приведенная электродинамическая сила, Н;  $\Omega_{np} = 2\pi f_{np}$  — угловая частота собственных колебаний без учета рассеяния энергии, рад/с;  $m_{np}$ ,  $y_{np}$ ,  $c_{np}$  — соответственно приведенные массы (кг), прогиб (м), жесткость ( $N/m$ ), (индекс «пр» ниже для упрощения записи опущен).

Решение уравнения (16) для каждого этапа К31, БП1, К32 и БП2 имеет вид

$$y_{np} = C e^{-ht} \sin(pt + \gamma) + \frac{1}{mp} \int_0^t e^{-h(t-\tau)} Q(\tau) \times \sin p(t-\tau) d\tau, \quad (17)$$

где  $p = \sqrt{\Omega^2 - h^2}$  — угловая частота свободных колебаний при наличии рассеяния энергии, рад/с;  $t$  — время, с;  $C$  и  $\gamma$  — постоянная (м) и угол (рад), определяемые из начальных условий [3]. Результаты решений уравнений (1) и (16) оказываются близкими, если параметры расчетной схемы с одной степенью свободы удовлетворяют условиям

$$\frac{\sigma_{2\max}}{\sigma_{1\max}} \approx \frac{R_{2\max}}{R_{1\max}} \approx \frac{y_{2\max np}}{y_{1\max np}} = 0. \quad (21)$$

Коэффициент  $\theta$  показывает, во сколько раз напряжения в шине, нагрузки на изоляторы или прогибы шины при неуспешных АПВ могут превышать соответствующие максимальные значения при первом к. з.

Таким образом, согласно (13), (14) и (20) максимальные напряжения и нагрузки при повторном включении на к. з. равны

$$\sigma_{2\max} = \sigma_{1\max} \theta = \frac{\sqrt{3} \cdot 10^{-7} l^2}{\lambda W} i_{ya}^2 \eta_R \theta; \quad (22a)$$

$$R_{2\max} = R_{1\max} \theta = \frac{\beta \sqrt{3} \cdot 10^{-7} l^2}{\lambda W} i_{ya}^2 \eta_R \theta. \quad (22b)$$

и  $\eta_{\text{d}}$  — динамические коэффициенты ная в материале шины и нагрузки на изоляционные максимальным значениям  $\delta$  и  $R_{\text{b}}$  в первом к. з.

Инженерных расчетах коэффициенты  $\eta_{\text{d}}$  и  $\eta_{\text{h}}$  приближенно принимают равными динамическому коэффициенту  $\eta = \eta_{\text{d}}/\eta_{\text{h}} \approx 1$ , вычисленному на основе однотоновой схемы [2, 4]. В соответствии с методикой [1, 5] решение для  $\theta$  с одной степенью свободы, а также расчетные формулы (22а, б) могут использоваться для расчета конструкций с абсолютно жесткими опорами, но и для приближенных оценок стойкости ошиновки с упругоподатливыми опорами. В каждом случае частота собственных колебаний определяется с учетом жесткости и массы

рис. 2, а приведены зависимости  $\theta$  от декремента затухания, полученные на основе решения (15) при наиболее неблагоприятных

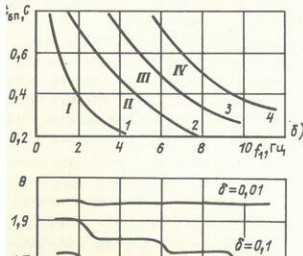
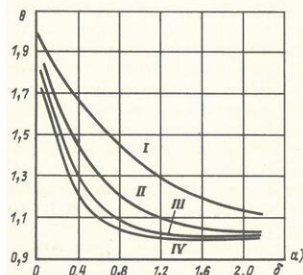


Рис. 2

условиях коммутаций, которые приводят при первом к. з., в бестоковую паузу и повторном включении на к. з. к наибольшим прогибам.

Кривая I (рис. 2, а) дает оценку сверху при любых частотах собственных колебаний шин. Учет наибольшей продолжительности бестоковой паузы позволяет определить прогибы, напряжения и нагрузки при повторном к. з. с меньшим «запасом». На рис. 2, б построены зависимости наименьшей (расчетной) продолжительности бестоковой паузы  $t_{\text{b}}$  от частоты собственных колебаний шины  $f_1$ .

Если точка с координатами  $t_{\text{b}}$  и  $f_1$  (рис. 2, б) лежит в зоне I (ограниченной осями координат и кривой I), то коэффициент  $\theta$  определяется по кривой I на рис. 2, а; если эта точка лежит в зоне II, то  $\theta$  соответственно определяется по кривой II и т. д. В качестве примера на рис. 2, в приведены зависимости коэффициента превышения  $\theta$  от частоты  $f_1$  при различных декрементах затухания и продолжительности бестоковой паузы не менее 0,3 с.

При построении кривых на рис. 2 продолжительность бестоковой паузы ограничивалась «снизу», то есть принималась равной или большей минимального (расчетного) значения  $t_{\text{b}}^{\min}$  и определение коэффициента  $\theta$  проводилось при наиболее неблагоприятных условиях. Такой подход позволяет косвенно учесть возможные отклонения продолжительности бестоковой паузы и параметров ошиновки (в частности, частоты собственных колебаний) от принятых в расчете значений и провести оценку стойкости ошиновки с запасом. Для более точных оценок можно использовать разработанные программы расчета на ЭВМ.

**Пример.** Определить наибольшие напряжения в материале шин и нагрузки на изоляторы при первом и повторном к. з. в экспериментальной конструкции с трубчатыми шинами круглого сечения. Внешний диаметр шин  $d_1 = 90$  мм, внутренний  $d_2 = 80$  мм. Шины изготовлены из алюминиевого сплава 1915T (модуль упругости  $E = 7,1 \cdot 10^{10}$  Па, погонная масса  $m = 3,7$  кг/м). Длина пролета шин 9 м. Разрезные участки шин смежных пролетов соединены с помощью гибких связей. Расстояние между фазами 1,4 м. Ударный ток трехфазного к. з.  $i_{\text{y}} = 50$  кА. Постоянная времени  $T_{\text{a}} = 0,04$  с. Логарифмический декремент затухания  $\delta = 0,5$ . Продолжительность бестоковой паузы  $t_{\text{b}} = 0,3$  с.

Моменты инерции и сопротивления поперечного сечения трубчатой шины равны

$$J = \pi(d_1^4 - d_2^4)/64 = 121 \cdot 10^{-8} \text{ м}^4;$$

$$W = 2J/d_1 = 26,9 \cdot 10^{-6} \text{ м}^3.$$

Для балки с шарнирным опиранием на обеих опорах  $r_1 = 3,14$ ;  $\beta = 1$ ;  $\lambda = 8$  [4].

Первая частота собственных колебаний согласно (7) равна  $f_1 = 2,9$  Гц. Экспериментально полученная частота собственных колебаний составила

3,2–4 Гц. По кривым, приведенным, например, в [2, 4] при вычисленном значении  $f_1$  и  $T_{\text{a}} = 0,04$  с определяем динамический коэффициент  $\eta = 0,33$ .

В соответствии с (22) наибольшие напряжения в шинах и нагрузки на изоляторы при первом к. з. составляют  $\sigma_{\text{max}} = 38,4$  МПа;  $R_{\text{max}} = 919$  Н.

Точка с координатами  $t_{\text{b}} = 0,3$  с и  $f_1 = 2,9$  Гц на рис. 2, б лежит во II зоне. Следовательно, коэффициент превышения  $\theta$  определяется по кривой II (рис. 2, а) и равен 1,35 (при  $\delta = 0,5$ ):

Таким образом, при повторном включении на к. з.  $\sigma_{\text{max}} = \sigma_{\text{max}} \theta = 51,8$  МПа;  $R_{\text{max}} = R_{\text{max}} \theta = 1240$  Н.

**Выводы.** 1. При неуспешных АПВ наибольшие напряжения в материале шин и нагрузки на изоляторы могут превышать соответствующие значения при первом к. з. на величину до 100 %.

2. С увеличением рассеяния энергии (декремента затухания), продолжительности бестоковой паузы, а также частоты собственных колебаний коэффициент превышения  $\theta$  снижается.

3. Как показали экспериментальные исследования, современные шинные конструкции 110 и 220 кВ имеют частоту собственных колебаний соответственно 1,5–4 Гц и 1–3 Гц, а декремент

затухания равен 0,1–0,6 и 0,01–0,1. Поэтому при повторных замыканиях и продолжительности бестоковой паузы не менее 0,3 с напряжения в шинах и нагрузки на изоляторах составляют в РУ 110 кВ не более 1,3–1,9, а 220 кВ — 1,8–1,95 от значений при первом к. з.

4. В шинных линиях напряжением до 35 кВ наибольшие расчетные напряжения и нагрузки при первом и повторном к. з. практически одинаковы.

## СПИСОК ЛИТЕРАТУРЫ

1. Кудрявцев Е. П., Долин А. П. Расчет жесткой ошиновки распределительных устройств. — М.: Энергия, 1981.
2. Долин А. П. Расчет электродинамической стойкости жесткой ошиновки с учетом ее колебаний при коротких замыканиях. — М.: МЭИ, 1981.
3. Филиппов А. П. Колебания деформируемых систем. — М.: Машиностроение, 1970.
4. Долин А. П., Шонгин Г. Ф. Открытые распределительные устройства с жесткой ошиновкой. — М.: Энергоатомиздат, 1988.
5. Кудрявцев Е. П., Долин А. П. Методика расчета электродинамической стойкости токопроводов напряжением 110 кВ и выше с учетом податливости опор. — Электричество, 1977, № 5.
6. Долин А. П. Экспериментальные исследования электродинамической стойкости шинных конструкций. — Промышленная энергетика, 1979, № 3.

[16.05.90]

УДК 62-83-52

## Алгоритмы и структуры микропроцессорных систем управления асинхронным электроприводом

ГУСЯЦКИЙ Ю. М., канд. техн. наук, ЖУКОВ С. В., инж.

Московский энергетический институт

Развитие регулируемого асинхронного электропривода в последние годы во многом определяется прогрессом в области микропроцессорной техники. Современный асинхронный электропривод с высоким качеством статических и динамических характеристик может быть выполнен только на базе замкнутых многосвязных структур регулирования, реализация которых с помощью аналоговой техники приводит к значительным аппаратным затратам и не обеспечивает требуемой точности и стабильности характеристик. Поэтому регулируемый асинхронный электропривод представляет одну из наиболее перспективных областей применения микропроцессорной (МП) техники. Особый интерес вызывают системы прямого цифрового управления, выполняющие все основные функции управления программно. В таких системах сравнительно просто без дополнительных аппаратных затрат могут быть реализованы сложные алгоритмы идентификации параметров и адаптации системы к их

изменению, автоматической настройке регуляторов при пуске электропривода и развитой диагностике силовой и управляющей частей электропривода. Все это значительно повышает эксплуатационные показатели и надежность системы.

Поскольку МП-система независимо от функционального назначения основана на применении типовых больших интегральных схем, то она по своему принципу работы универсальна. Это определяет целесообразность разработки универсального микроконтроллером, пригодного для максимально возможного спектра различных электроприводов и, в частности, регулируемых асинхронных электроприводов. Как показал опыт разработки, аппаратная избыточность такой системы не превышает 15 % по сравнению с функционально направленным микроконтроллером. Далее рассматриваются структуры различных систем частотно-регулируемых асинхронных электроприводов,

# СОДЕРЖАНИЕ

# CONTENTS

ей МЭИ	
в В. А., Чехов В. И., Асланян С. К. Управление	
ежимами электроэнергетических систем с помощью	
искретных источников реактивной мощности . . . . .	
ова Т. В., Тюханов Ю. М., Усихин В. Н. Оценка	
значенений промышленных электрических нагрузок	
Ю. А., Хозяинов М. А. Ввод режима электро-	
нергетических систем в допустимую область путем	
коррекции их схемы . . . . .	
А. П., Козинова М. А. Методика расчета электро-	
динамической стойкости жесткой ошиновки при	
успешных АПВ . . . . .	
кий Ю. М., Жуков С. В. Алгоритмы и структуры	
икропроцессорных систем управления асинхрон-	
ым электроприводом . . . . .	
льский А. А. Математическая модель нелинейных	
злений в пьезоэлектрических двигателях и дат-	
чиках . . . . .	
с В. И., Грапонов В. Г., Лопатин В. А. Аналити-	
ческий расчет электромагнитных процессов в тя- . . . . .	
жев А. И., Новикова Е. А. Способ определения	
проводимостей рассеяния магнитной системы син- . . . . .	
хронной электрической машины с когтеобразными	
злусами индуктора . . . . .	
ев В. Г., Стакив П. Г. Перспективы исполь- . . . . .	
зования диакоптического подхода при анализе	
динамических режимов электрических цепей . . . . .	
<b>ЗАКЛЮЧЕНИЯ</b>	
ев А. С. Динамика двухзонного электропри- . . . . .	
ода постоянного тока при оптимальном управлении	
ников Б. И., Каплин А. И., Малышев В. С.,	
Чанюков М. Ф. Расчет вибраций асинхронного	
двигателя при пуске . . . . .	
сов В. З., Моисеев С. М. Вероятностное экви- . . . . .	
алентирование параметров электрических систем в	
амках корреляционного анализа . . . . .	
тов А. Д., Куделько А. Р. Однофазный асинхронный	
электродвигатель с повышенным пусковым	
моментом . . . . .	
ин А. С. Метод расчета магнитодвижущей силы	
убцов редукторных электродвигателей . . . . .	
шева Ж. Н., Никонов А. И. Численное решение	
задачи магнитостатики для области с профицирован- . . . . .	
ным магнитопроводом и подвижным элементом	
лева В. К., Редькин Г. А. Математическая	
одель поля электродегидратора . . . . .	
рев И. Н. Выбор рациональной структуры	
сточника питания с индуктивным накопителем	
нергии . . . . .	
х Н. Н. Периодичность технического обслуживания	
электротехнических устройств, находящихся в по-	
гоянной готовности . . . . .	
тель материалов, помещенных в журнале «Элек- . . . . .	
чество» в 1990 г. . . . .	
<b>БИБЛИОГРАФИЧЕСКИЙ УКАЗЫВАТЕЛЬ АВТОРОВ СТАТЕЙ</b>	

1	The Jubilee of the Moscow Power Institute . . . . .	1
3	Stroyev V. A., Chekhov V. I., Aslanian S. K.—Control of Power System Operating Conditions Using Discrete Reactive Power Sources . . . . .	3
9	Ancharova T. V., Tikhonov U. M., Usikhin V. N.—Estimation of Industrial Electrical Loads . . . . .	9
14	Fokin U. A., Khosainov M. A.—Bringing Operating Conditions of Power System Into a Region of Permissible Values Through Correction of Their Scheme . . . . .	14
20	Dolin A. P., Kozinova M. A.—A Way for Calculating the Electrodynamical Withstand of Rigid Buswork for Unsuccessful Automatic Reclosure Attempts . . . . .	20
25	Gusiatsky U. M., Zhukov S. V.—Algorithms and Structures of Microprocessor Systems for Controlling an Asynchronous Drive . . . . .	25
33	Nikolsky A. A.—A Mathematical Model for Non-Linear Phenomena in Piezo-Electric Motors and Sensors . . . . .	33
38	Anders V. I., Grapov V. G., Lopatin V. A.—Analysis of Electromagnetic Processes in an AC Traction Drive . . . . .	38
43	Besedin D. I., Novikova E. A.—A Way for Finding the Leakage Conductances of the Magnetic System of a Synchronous Machine With Claw-Type Inductor Poles . . . . .	43
50	Mironov V. G., Stakhiv P. G.—Prospects for Employing the Diakoptic Approach in Analyzing Electric Circuit Dynamics . . . . .	50
<b>REPORTS</b>		
57	Lebedev A. S.—Dynamics of a Two-Zone DC Drive With Optimum Control . . . . .	57
60	Zubrenkov B. I., Kaplin A. I., Malishev V. S., Maniukov M. F.—Calculation of Vibrations in an Induction Motor When Starting . . . . .	60
64	Manusov V. Z., Moiseyev S. M.—Statistical Equivalence of Power System Parameters Within the Scope of Correlational Analysis . . . . .	64
67	Abramov A. D., Kudelko A. R.—A Single-Phase Induction Motor With a High Starting Torque . . . . .	67
70	Kurakin A. S.—A Method for Calculating the MMF of the Teeth in Reducer Motors . . . . .	70
75	Kudriashova Z. N., Nikonorov A. I.—A Numerical Solution to the Magnetostatic Problem for an Area With a Profiled Magnetic Circuit and a Moving Element . . . . .	75
76	Golovleva V. K., Redkin G. A.—A Mathematical Model for the Field in an Electric Dehydrator . . . . .	76
79	Grigoriev I. N.—Selection of an Effective Structure for a Supply Source With an Inductive Energy Store . . . . .	79
80	Syrikh N. N.—Maintenance Intervals for Electrical Apparatus Always Available for Service . . . . .	80
85	Contents of the Journal “Electruchestvo” for 1990 . . . . .	85
93	Alphabetic List of Authors . . . . .	93

Индекс 71106

ISSN 0013-5380. Электричество, 1990, № 12, 1—96.